



ارائه شده توسط:

سایت ترجمه فا

مرجع جدیدترین مقالات ترجمه شده

از نشریات معتبر

نظریه چند قطبی الکترومغناطیسی برای نانومواد نوری

چکیده :

خواص نوری مواد طبیعی یا طراحی شده با گشتاورهای چند قطبی الکترومغناطیسی تعیین می شود به طوری که نور می تواند در ذرات تشکیل دهنده بر انگیخته شود. در این مطالعه، ما یک رویکردی را برای محاسبه بر انگیختگی های چند قطبی در آرایشات دلخواه نانولنزها در محیط میزبان دی الکتریک ارائه می کنیم. ما به معرفی تجزیه چند قطبی گویا و ساده جریان های الکتریکی بر انگیخته شده در پراکنده سازها پرداخته و این تجزیه را به توسعه چند قطبی کلاسیک میدان پراش مرتبط می کند. به طور ویژه، نتایج نشان داد که چند قطبی های مختلف قادر به تولید میدان های پراکنده مشابه است. تئوری چند قطبی ارائه شده می تواند مبنایی برای طراحی و تعیین نانومواد نوری باشد.

1- مقدمه

انبساط چند قطبی الکترومغناطیس کلاسیک (1) یک ابزار قوی برای تحلیل میدان های الکتریکی و مغناطیسی ایجاد شده با بارها و جریان های الکتریکی محلی می باشد. صرف نظر از پیچیدگی توزیع بار و جریان، میدان های تولید شده توسط آنها را می توان به صورت برهم نهی میدان های ایجاد شده با یک مجموعه متناظر از چند قطبی های نقطه ای نشان داد. این ارتباط یک مبنایی را برای تعیین و شناسایی میدان های اشعه دهی شده با بر انگیختگی های جریان و بار محلی در پیکر بندی های دلخواه است.

در فرایندهای نوری، انبساط چند قطبی برای توصیف پراکندگی میدان های نوری توسط اشیای کوچک مناسب است. معمولاً، در صورتی که طول موج میدان در مقایسه با اندازه شی بزرگ باشد پراکندگی عمدتاً با چند قطبی با کمترین مرتبه، دو قطبی الکتریکی توصیف می شود و این در حالی است که نقش همه چند قطبی های مرتبه بالاتر به عنوان اختلالات بیشتر در نظر گرفته می شود. اخیراً، نشان داده شده است که در نانومواد نوری (2) نظیر متامواد، سهم دو قطبی مغناطیسی (3) و بر انگیختگی چهار قطبی الکتریکی به پراکندگی با اجزای مواد می تواند معنی دار باشد که به شدت بر خواص نوری مواد اثر داشته و منجر به پدیده های خارق العاده نظیر

انکسار منفی می شود(5). در مواد خاص، چند قطبی های مرتبه بالاتر بر سهم دو قطبی الکتریکی سایه افکنده اند(6). از این روی بدیهی است که چند قطبی های مرتبه بالاتر در زمان ارزیابی ویژگی های الکترومغناطیسی این مواد در نظر گرفته می شوند(7).

به منظور ایجاد و تولید یک ماده با خواص نوری توصیف شده، بایستی یک واحد اولیه ماده (موسوم به متاتم) را انتخاب و ویژگی های پر اکندگی آن را از طریق تعدیل طراحی بهینه سازی کرد. برای یک ذره فردی، این کار را می توان با حل عددی معادلات مکسول بر ای میدان پر اکنده و استفاده از انبساط چند قطبی بر ای تعیین چند قطبی در پر اکندگی انجام داد(8). با این حال در یک ماده متشکل از تعداد زیادی از واحدهای اولیه، هر ذره با میدان های پر اکنده شده با سایر ذرات تعامل دارد و این به طور معنی دار موجب اصلاح و تغییر معنی دار در بزرگی و فازهای چند قطبی های برانگیخته می شود. چون در هر نقطه در مواد میدان یک برهم نهی ای است که دار ای میدان های پر اکنده با همه ذرات است و هر رویکرد بر ای ذرات فردی دیگر نمی تواند مورد استفاده قرار گیرد و امکان انجام تجزیه چند قطبی در جریان الکتریکی برانگیخته در هر یک از ذرات را می دهد. این تجزیه تنها بر ای یک توزیع جریان الکتریکی در خلاء معرفی شده است(1) و از این روی یک تئوری چند قطبی بر ای تحلیل نانومواد در یک محیط میزبان دی الکتریک همگن استفاده می شود. در این مطالعه، ما این تئوری را معرفی می کنیم. رویکرد انبساط چند قطبی بر ای پیاده سازی عددی مستقیم مناسب است

شکل هندسی عامل پر اکنده کننده تعیین کننده نوع حالت های جریان الکتریکی می باشند که توسط نور برانگیخته می شود. برای توصیف این روش ها، یک مجموعه از چند قطبی های جریان الکتریکی متعامد را پیشنهاد می کنیم که متشکل از جریان های نقطه ای اولیه در پیکر بندی های ساده است. هر عنصر مربوط به تانسور چند قطبی جریان حاصله منعکس کننده مقاومت این پیکر بندی ها است که امکان ترسیم حالت های جریان الکتریکی واقعی برانگیخته شده را می دهد. ما تئوری خود را با مشتق کردن معادلاتی که عنصر تانسور چند قطبی جریان الکتریکی را به ضرایب انبساط چند قطبی کلاسیک ربط می دهد کامل می کنیم. به خصوص، این عبارت ها و معادلات موارد زیر را نشان می دهد1- حالت های چند قطبی تیره که موجب ایجاد میدان

الکترومغناطیسی نمی شود 2- اشعه دو قطبی الکتریکی تولید شده توسط جریان های الکتریکی با گشتاور دو قطبی الکتریکی صفر. این یافته هاف ازادی بیشتری را به ما در خصوص انتخاب هندسه ذرات ارائه می کند. در بخش دوم، انبساط چند قطبی کلاسیک بر ای توصیف میدان الکترومغناطیسی پراننده شده با نانوذرات و طیف های نانوذرات موجود در محیط میزبان دی الکتریک تعدیل می شود. در بخش سوم، ضرایب انبساط چند قطبی با میدان های الکترومغناطیسی با مجموعه ای از عناصر جریان طول موج نقشه یابی می شوند. روابط نقشه یابی صریح تا چندین مرتبه هشت وجهی الکتریکی و چهار قطبی مغناطیسی ایجاد شده و مرتبه های سومین مرتبه را در سلسله مراتب چند قطبی توصیف می کند. در بخش 4، ما خلاصه ای از نتایج ارائه می کنیم.

2- انبساط چند قطبی میدان پراننده

ما یک موج صفحه مونوکروماتیک را با بزرگی میدان الکتریکی E_0 ، فرکانس زاویه ای ω و بردار موجی K برخوردی به یک ذره در محیط دی الکتریک همگن در نظر می گیریم. به طور کلی، میدان الکترومغناطیسی پراننده را می توان بر اساس مختصات کروی در شکل معادله زیر نوشت

$$E_s(r, \theta, \phi) = E_0 \sum_{l=1}^{\infty} \sum_{m=-l}^l i^l [\pi(2l+1)]^{1/2} \left\{ \frac{1}{k} a_E(l, m) \nabla \times [h_l^{(1)}(kr) X_{lm}(\theta, \phi)] + a_M(l, m) h_l^{(1)}(kr) X_{lm}(\theta, \phi) \right\}, \quad (1)$$

$$H_s(r, \theta, \phi) = \frac{E_0}{\eta} \sum_{l=1}^{\infty} \sum_{m=-l}^l i^{l-1} [\pi(2l+1)]^{1/2} \left\{ \frac{1}{k} a_M(l, m) \nabla \times [h_l^{(1)}(kr) X_{lm}(\theta, \phi)] + a_E(l, m) h_l^{(1)}(kr) X_{lm}(\theta, \phi) \right\}, \quad (2)$$

که $h_l^{(1)}$ و X_{lm} هارمونیک های کروی بردار نرمال و توابع هنکل کروی نوع اول می باشند. عدد موجی K طوری اختیار می شود که دی الکتریک محیط دار ای امپدانس η است. ما نرمال سازی انبساط چند قطبی را انتخاب کرده ایم که به طوری که معادلات بر ای پرانندگی و مقطع عرضی انهدام فشرده هستند. توابع بردار در انبساط چند قطبی تشکیل یک مبنایی کامل بر ای نمایش میدان الکترومغناطیسی در خارج از منبع محلی دلخواه می دهد (10)

فرض کنید که میدان الکتریکی پراننده E_s در یک منطقه اطراف پراننده قرار دارد (که به طور عددی

محاسبه می شود). با استفاده از خواص متعامد، هارمونیک کروی بردار X_{lm} و هارمونیک کروی اسکالر، Y_{lm}

می توان ضرایب چند قطبی را از توزیع میدان الکتریکی بر آکنده در هر سطح کروی به صورت زیر محاسبه کرد:

$$a_E(l, m) = \frac{(-i)^{l+1}kr}{h_l^{(1)}(kr)E_0[\pi(2l+1)l(l+1)]^{1/2}} \int_0^{2\pi} \int_0^\pi Y_{lm}^*(\theta, \phi) \hat{r} \cdot \mathbf{E}_s(\mathbf{r}) \sin\theta d\theta d\phi, \quad (3)$$

$$a_M(l, m) = \frac{(-i)^l}{h_l^{(1)}(kr)E_0[\pi(2l+1)]^{1/2}} \int_0^{2\pi} \int_0^\pi \mathbf{X}_{lm}^*(\theta, \phi) \cdot \mathbf{E}_s(\mathbf{r}) \sin\theta d\theta d\phi. \quad (4)$$

معادلات فوق برای این ضرایب را می توان از حیث میدان مغناطیسی بر آکنده HS نوشت. در این مطالعه، امکان استفاده از ضرایب مغناطیسی به صورت زیر وجود دارد

$$a_M(l, m) = \frac{(-i)^l \eta kr}{h_l^{(1)}(kr)E_0[\pi(2l+1)l(l+1)]^{1/2}} \int_0^{2\pi} \int_0^\pi Y_{lm}^*(\theta, \phi) \hat{r} \cdot \mathbf{H}_s(\mathbf{r}) \sin\theta d\theta d\phi. \quad (5)$$

برای برآکنده با ذرات متقارن، همه ضرایب با مرتبه بالاتر در L به جای l_{\max} بایستی بر ابر با صفر قرار داده شود و این کار با انتخاب مبدا سیستم مختصات صورت می گیرد. مقدار l_{\max} بستگی به اندازه و پیچیدگی هندسی ذره دارد

سپس فرض می شود که ذره متعلق به طیف وسیعی از خواص مشابه است. ضرایب چند قطبی را باستی از توزیع تراکم جریان الکتریکی در ذرات کسر شود. برای یک تگ ذره، این مشتق گیری تحت این فرض است که محیط اطراف، خلاء است. برای این که یک محیط دی الکتریک ایجاد شود مقدار زیر

$$\mathbf{J}_S(\mathbf{r}) = -i\omega\epsilon_0[\epsilon_r(\mathbf{r}) - \epsilon_{r,d}]\mathbf{E}(\mathbf{r}), \quad (6)$$

را تعریف می کنیم که موسوم به تراکم الکتریکی بر آکنده می باشد. میدان الکتریکی

$$\mathbf{E} = \mathbf{E}_i + \sum_j \mathbf{E}_{s,j}$$

حاوی هر دو میدان برخوردی \mathbf{E}_i و میدان $\mathbf{E}_{s,j}$ بر آکنده شده با هر ذره j

است. در (6)، $\epsilon_{r,d}$ یک گذردهی الکتریکی نسبی مقدار واقعی دی الکتریک بوده و $\epsilon_r(\mathbf{r})$ گذردهی الکتریکی

نسبی در هر مختصات R است. فرض می شود که هر ذره متشکل از مواد خطی، همسانگرد و غیر مغناطیسی

است. فرض ذرات گسسته ما را قادر به تعریف جریان منبع بر آکنده $\mathbf{J}_{s,j}$ در هر ذره j می کند به طوری

که $\mathbf{J}_S = \sum_j \mathbf{J}_{S,j}$ است. سپس با استفاده از معادلات مکس ول ماکروسکوپی، امکان مشتق کردن معادلات برای هر ذره l وجود دارد

$$\nabla \cdot \mathbf{E}_{s,j}(\mathbf{r}) = -\frac{i\eta}{k} \nabla \cdot \mathbf{J}_{S,j}(\mathbf{r}), \quad (7)$$

$$\nabla \cdot \mathbf{H}_{s,j}(\mathbf{r}) = 0, \quad (8)$$

$$\nabla \times \mathbf{E}_{s,j}(\mathbf{r}) = ik\eta \mathbf{H}_{s,j}(\mathbf{r}), \quad (9)$$

$$\nabla \times \mathbf{H}_{s,j}(\mathbf{r}) = -\frac{ik}{\eta} \mathbf{E}_{s,j}(\mathbf{r}) + \mathbf{J}_{S,j}(\mathbf{r}). \quad (10)$$

در این معادلات، میدان برخوردی و میدان پراکنده شده با ذرات مجاور از طریق $\mathbf{J}_{S,j}$ نمایش داده می شوند. بر طبق معادلات 7-11، $\mathbf{J}_{S,j}$ ، تراکم جریان موثر را معرفی می کند که میدان پراکنده جی امین ذره را در راه حل پایدار معادلات مکس ول ایجاد می کند

با استفاده از معادلات 7-10، معادلات موج اسکالر زیر را مشتق می کنیم

$$(\nabla^2 + k^2)[\mathbf{r} \cdot \mathbf{E}_{s,j}(\mathbf{r})] = -ik\eta \mathbf{r} \cdot \mathbf{J}_{S,j}(\mathbf{r}) - i\frac{\eta}{k} \left(2 + r \frac{d}{dr}\right) [\nabla \cdot \mathbf{J}_{S,j}(\mathbf{r})], \quad (11)$$

$$(\nabla^2 + k^2)[\mathbf{r} \cdot \mathbf{H}_{s,j}(\mathbf{r})] = -\mathbf{r} \cdot [\nabla \times \mathbf{J}_{S,j}(\mathbf{r})]. \quad (12)$$

راه حل های 11 و 12 به ترتیب در 3 و 5 بر ای دست یابی به ضرایب چند قطبی در شکل زیر قرار می گیرد

$$a_E(l, m) = \frac{(-i)^{l-1} k \eta}{E_0 [\pi(2l+1)l(l+1)]^{1/2}} \int Y_{lm}^*(\theta, \phi) j_l(kr) \{k^2 \mathbf{r} \cdot \mathbf{J}_{S,j}(\mathbf{r}) + (2 + r \frac{d}{dr}) [\nabla \cdot \mathbf{J}_{S,j}(\mathbf{r})]\} d^3r, \quad (13)$$

$$a_M(l, m) = \frac{(-i)^{l-1} k^2 \eta}{E_0 [\pi(2l+1)l(l+1)]^{1/2}} \int Y_{lm}^*(\theta, \phi) j_l(kr) \mathbf{r} \cdot [\nabla \times \mathbf{J}_{S,j}(\mathbf{r})] d^3r, \quad (14)$$

که j_l توابع بسل کروی است. اگرچه انتگرال سیون ها در 13 و 14 در کل فضا قرار دارند، توابع زیر انتگرال با صفر در خارج از ذره معادل است

مشتقات مکانی $\mathbf{J}_{S,j}$ موجب می شوند تا محاسبه 13 و 14 سخت باشد به خصوص برای محاسبات عددی. ا

ز این روی از انتگرال گیری جزء به جزء را استفاده می کنیم

$$a_E(l, m) = \frac{(-i)^{l-1} k^2 \eta O_{lm}}{E_0 [\pi(2l+1)]^{1/2}} \int \exp(-im\phi) \left\{ [\Psi_l(kr) + \Psi_l''(kr)] P_l^m(\cos\theta) \hat{\mathbf{r}} \cdot \mathbf{J}_{S,j}(\mathbf{r}) + \frac{\Psi_l'(kr)}{kr} [\tau_{lm}(\theta) \hat{\theta} \cdot \mathbf{J}_{S,j}(\mathbf{r}) - i\pi_{lm}(\theta) \hat{\phi} \cdot \mathbf{J}_{S,j}(\mathbf{r})] \right\} d^3r, \quad (15)$$

$$a_M(l, m) = \frac{(-i)^{l+1} k^2 \eta O_{lm}}{E_0 [\pi(2l+1)]^{1/2}} \int \exp(-im\phi) j_l(kr) [i\pi_{lm}(\theta) \hat{\theta} \cdot \mathbf{J}_{S,j}(\mathbf{r}) + \tau_{lm}(\theta) \hat{\phi} \cdot \mathbf{J}_{S,j}(\mathbf{r})] d^3r, \quad (16)$$

که $\Psi_l(kr) = kr j_l(kr)$ توابع ریکاتی سل و $\Psi_l'(kr)$ و $\Psi_l''(kr)$ اولین و دومین مشتق با توجه به

استدلال Kr است. چند جمله ای P_l^m در 1 تعریف شده است. در معادله 15 و 16، توابع و پارامترهای زیر معرفی شده اند

$$O_{lm} = \frac{1}{[l(l+1)]^{1/2}} \left[\frac{2l+1}{4\pi} \frac{(l-m)!}{(l+m)!} \right]^{1/2}, \quad (17)$$

$$\tau_{lm}(\theta) = \frac{d}{d\theta} P_l^m(\cos\theta), \quad (18)$$

$$\pi_{lm}(\theta) = \frac{m}{\sin\theta} P_l^m(\cos\theta). \quad (19)$$

معادلات 15 و 16، ضرایب چند قطبی یکسان را به صورت 3 و 4 برای نور پراکنده با هر ذره نشان می دهد. با این حال، معادلات 3 و 4 قابل تعمیم به پراکنده کننده ها نیست. برعکس، چون معادلات 15 و 16 نیا زکند دانش از میدان الکتریکی در ذرات برای محاسبه $\mathbf{J}_{S,j}$ می باشند آن ها را می توان برای شناسایی پراکنندگی نور با هر ذره در ردیف استفاده کرد

میدان الکتریکی کل مورد نیاز را می توان با حل عددی معادلات مکسول محاسبه کرد. از این روی معادلات 15 و 16 امکان شناسایی خواص نانومواد نوری را می دهند که در آن چند قطبی های مرتبه بالا برانگیخته می شوند

برای پراکنندگی نور با یک ذره، امکان معرفی یک مقطع عرضی پراکنده کننده وجود دارد که به توصیف کارایی حذف انرژی از موج صفحه کمک می کند. برای ضرایب چند قطبی، مقطع عرضی پراکنده کننده را می توان مانند معادله 11 مشتق کرد

$$C_s = \frac{\pi}{k^2} \sum_{l=1}^{\infty} \sum_{m=-l}^l (2l+1) [|a_E(l, m)|^2 + |a_M(l, m)|^2]. \quad (20)$$

جملات سری در 20 امکان تعیین سهم هر برانگیختگی چند قطبی را در مقطع عرضی کل ذره می دهد. مقطع عرضی انهدام را می توان از حیث ضرایب چند قطبی تعیین کرد. برای یک برخورد اشعه ایکس پلاریزه،

$$E_i(\mathbf{r}) = \hat{x} E_0 \exp(ikz), \quad (21)$$

مقطع عرضی انهدام به صورت زیر بدست می آید

$$C_{\text{ext},x} = -\frac{\pi}{k^2} \sum_{l=1}^{\infty} \sum_{m=-l+1}^{+l} (2l+1) \text{Re}[ma_E(l,m) + a_M(l,m)]. \quad (22)$$

عکس معادله 20، عبارت مقطع عرضی انهدام بستگی به انتخاب جهت پلاریزاسیون و تکثیر میدان دارد. برای مثال اگر موج برخوردی γ پلاریزه باشد، مقطع عرضی انهدام به صورت زیر بدست می آید

$$C_{\text{ext},y} = \frac{\pi}{k^2} \sum_{l=1}^{\infty} \sum_{m=-l,+1}^{+l} (2l+1) \text{Im}[a_E(l,m) + ma_M(l,m)]. \quad (23)$$

مقاطع عرضی انهدام و پراکندگی را می توان با استفاده از قضیه نوری و محاسبه قدرت کل نور پراکنده محاسبه کرد. نتایج را می توان با نتایج معادله 20-22 و 23 مقایسه کرد که به عنوان یک معادله اضافی برای محاسبات عمل می کند

3- انبساط چند قطبی تراکم جریان الکتریکی

پراکندگی نور توسط ذره را می توان به عنوان یک فرآیند در نظر گرفت که در آن نور در پلاریزاسیون ذره برانگیخته شده و جریان های رسانش از طریق آن پراکنده می شوند. این جریان ها را می توان به جملات تجزیه کرد. برای دست یابی به این تجزیه، ما از مفهوم عناصر جریان الکتریکی معرفی شده در 12 استفاده می کنیم. یک ذره تعاملی با نور به عنوان مجموعه ای از عناصر نقطه در نظر گرفته می شود.

قبل از ارائه انبساط چند قطبی تراکم جریان الکتریکی، ما سیم به طول L را در نظر می گیریم که حامل جریان الکتریکی هارمونیک با بزرگی I است. سیم در مبدا سیستم مختصات درون دی الکتریک همسان گرد و همگن واقع شده است. جریان نوسانی، اشعه الکترو مغناطیس با طول موج λ به دی الکتریک متصاعد می شود. با فرض این که $L \ll \lambda$ باشد، این سیم حامل جریان را می توان به عنوان یک عنصر جریان نقطه ای در

نظر گرفت که دارای یک بزرگی پیچیده تراکم جریان است:

$$J_1(\mathbf{r}) = IL\delta(\mathbf{r}). \quad (24)$$

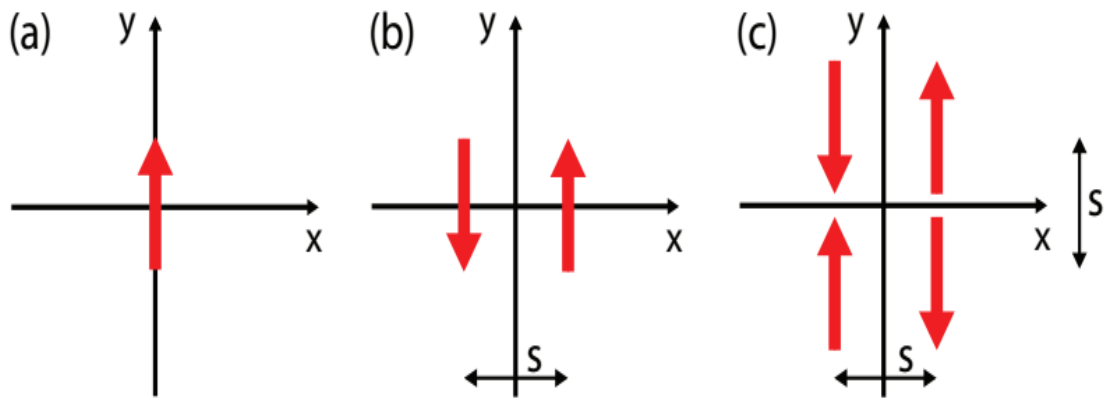
این عنصر جریان با دو قطبی الکتریکی نقطه ای نوسانی متناظر است. سپس دو عنصر را در نظر می گیریم که در آن جریان ها در جهات مخالف نوسان دارند. یک عنصر با جریان $+I$ از مبدا در جهت مثبت \hat{x} با فاصله $s/2$ جا به جا می شود، در حالی که عنصر دیگر با جریان $-I$ در جهت مخالف با مقدار یکسان جا به جا می شود. اگر $s \ll \lambda$ باشد، این پیکر بندی جریان ابتدایی را به صورت عنصر جریان مرتبه دوم در نظر می گیریم. با کوچک در نظر گرفتن S می توان بزرگی تراکم جریان را بدست آورد

$$J_2(\mathbf{r}) = \varsigma(\hat{x})J_1(\mathbf{r}), \quad (25)$$

که عملگر S به صورت زیر تعریف می شود

$$\varsigma(\hat{u}) = -s \frac{d}{du}. \quad (26)$$

جا به جایی های مشابه را می توان در جهات \hat{y} و \hat{z} با اعمال به ترتیب عملگرهای $\varsigma(\hat{y})$ و $\varsigma(\hat{z})$ انجام داد. عناصر جریان نقطه ایی مرتبه سوم و بالاتر را می توان با کاربرد عملگر در معادله 26 برای تراکم جریان با حداقل نقطه بدست آورد در معادله 24، \hat{u} را می توان به صورت $\hat{x}, \hat{y}, \hat{z}$ و یا ترکیب خطی آن ها در نظر گرفت. اثر عملگر در یک عنصر جریان نقطه ای با مرتبه خاص را می توان به صورت زیر بدست آورد. عملگر یک رونوشت از عنصر را داده و فاز بزرگی این رونوشت را با رادیان پی تغییر می کند. عنصر اولیه در جهت \hat{u} تا فاصله $s/2$ تغییر می کند. در نهایت، S به صورت زیر ترسیم می شود.



شکل 1: نمایی از عناصر جریان نقطه ای (a) $\mathbf{J}_1 = \hat{y} I L \delta(\mathbf{r})$ و (b) $\mathbf{J}_2 = \zeta(\hat{x}) \mathbf{J}_1$

(c) $\mathbf{J}_3 = \zeta(\hat{x}) \zeta(\hat{y}) \mathbf{J}_1$. هر پیکان قرمز نشان دهنده جریان الکتریکی زمان هارمونیک بزرگی I که در

سیم با طول L جریان می یابد

بزرگی مولفه های جریان نقطه ای با گشتاور های چند قطبی جریان مرتبه l ام توصیف می شود

$$\mathbf{M}^{(l)} = \frac{i}{(l-1)! \omega} \int \mathbf{J}(\mathbf{r}) \underbrace{\mathbf{r} \mathbf{r} \dots \mathbf{r}}_{l-1 \text{ terms}} d^3 r, \quad (27)$$

که $\mathbf{M}^{(l)}$ تانسور مرتبه l است. برای مرتبه های $l = 1$ ، $l = 2$ و $l = 3$ ، گشتاور های چند قطبی

جریان را به صورت دو قطبی ($\mathbf{M}^{(1)} = \mathbf{p}$)، چهار قطبی ($\mathbf{M}^{(2)} = \mathbf{Q}$)، هشت قطبی

($\mathbf{M}^{(3)} = \mathbf{O}$) در نظر می گیریم. به ازای $l > 2$ ، چندین عنصر $\mathbf{M}^{(l)}$ بر ابر هستند. برای مثال،

گشتاور های هشت قطبی $O_{xyz} = O_{xzy}$ به صورت زیر هستند

انبساط چند قطبی تراکم جریان بدست آمده با تکرار عملگر \mathcal{S} را می توان در مختصات دکارتی نوشت

$$\mathbf{J}(\mathbf{r}) = i\omega \sum_{l=1}^{\infty} \sum_{\hat{\mathbf{v}}=\hat{\mathbf{x}},\hat{\mathbf{y}},\hat{\mathbf{z}}} \sum_{a=0}^{l-1} \sum_{b=0}^{l-a-1} M^{(l)}(\hat{\mathbf{v}}, a, b) \hat{\mathbf{v}} \frac{(-1)^l (l-1)!}{a! b! [l - (a+b+1)]!} \frac{d^a}{dx^a} \frac{d^b}{dy^b} \frac{d^{l-(a+b+1)}}{dz^{l-(a+b+1)}} \delta(\mathbf{r}), \quad (28)$$

که $M^{(l)}(\hat{v}, a, b)$ با \hat{v} برابر با \hat{x} , \hat{u} or \hat{z} بوده و عناصر $M^{(l)}$ است که چند قطبی بدست آمده با کاربرد عملگر $\zeta(\hat{u})$ به مولفه جریان با $\hat{u} = \hat{x}$ بدست می آید. B دفعات با $\hat{u} = \hat{y}$ و $l - (a + b + 1)$ است. ضرایب در 28 طوری انتخاب می شوند که عناصر تانسورهای چند قطبی متناسب با 27 هستند

هدف ما نگاشت $M^{(l)}$ بر روی ضرایب $a_E(l, m)$ و $a_M(l, m)$ در انبساط چند قطبی 1 و 2 است. بر ای این ما باید میدانهای الکترومغناطیسی ایجاد شده را با توزیع تراکم جریان 28 حل کنیم. در ابتدا پتانسیل بردار A به صورت زیر شروع می شود

$$H(\mathbf{r}) = \frac{1}{\mu_0} \nabla \times \mathbf{A}(\mathbf{r}). \quad (29)$$

در مقیاس لورنز، A مطابق با معادله موجی است

$$(\nabla^2 + k^2) \mathbf{A}(\mathbf{r}) = -\mu_0 \mathbf{J}(\mathbf{r}). \quad (30)$$

برای یک عنصر جریان الکتریکی نقطه ای، نظیر 24، راه حل معادله موجی 1 به صورت زیر است

$$\mathbf{A}_1(\mathbf{r}) = \frac{1}{\omega} \frac{k^3 \mathbf{p}}{4\pi\epsilon} h_0^{(1)}(kr), \quad (31)$$

که $\epsilon = \epsilon_0 \epsilon_r$ و $\mathbf{p} = i\mathbf{I}L/\omega$ ؛ گذر دهی الکتریکی دی الکتریک مجاور است. انبساط چند قطبی

پتانسیل بردار با استفاده از عملگر ζ در (30) با $\mathbf{J} = \mathbf{J}_1$ و $\mathbf{A} = \mathbf{A}_1$ بدست می آید تا زمانی که

\mathbf{J} در سمت راست تبدیل به 28 می شود. چون عملگرهای دیفرانسیل مکانی در مختصات دکارتی مطابق

با ∇^2 است، انبساط چند قطبی به ازای A از (30) به صورت زیر بدست می آید

$$\mathbf{A}(\mathbf{r}) = \frac{1}{\omega} \frac{k^3}{4\pi\epsilon} \sum_{l=1}^{\infty} \sum_{\hat{\mathbf{v}}=\hat{\mathbf{x}},\hat{\mathbf{y}},\hat{\mathbf{z}}} \sum_{a=0}^{l-1} \sum_{b=0}^{l-a-1} M^{(l)}(\hat{\mathbf{v}}, a, b) \hat{\mathbf{v}} \frac{(-1)^{l-1} (l-1)!}{a!b![l-(a+b+1)]!} \frac{d^a}{dx^a} \frac{d^b}{dy^b} \frac{d^{l-(a+b+1)}}{dz^{l-(a+b+1)}} h_0^{(1)}(kr). \quad (32)$$

نتایج نشان داد که محاسبات را می توان به طور معنی داری با استفاده از سیستم مختصات دایره ای (w, w^*, z) ساده کرد که در آن $w = (x + iy)/\sqrt{2}$ و w^* یک رابط پیچیده است. بردارهای واحد در سیستم شامل \hat{w}, \hat{w}^* و \hat{z} است که در آن $\hat{w} = (\hat{x} - i\hat{y})/\sqrt{2}$ است. این مختصات دایره ای با مختصات دکارتی ارتباط دارد و از این روی عملگر \mathcal{S} در مطابق با معادله است. پتانسیل بردار به صورت زیر بدست می آید

$$\mathbf{A}(\mathbf{r}) = \frac{1}{\omega} \frac{k^3}{4\pi\epsilon} \sum_{l=1}^{\infty} \sum_{\hat{\mathbf{v}}=\hat{\mathbf{w}},\hat{\mathbf{w}}^*,\hat{\mathbf{z}}} \sum_{a=0}^{l-1} \sum_{b=0}^{l-a-1} M^{(l)}(\hat{\mathbf{v}}, a, b) \hat{\mathbf{v}} \frac{(-1)^{l-1} (l-1)!}{a!b![l-(a+b+1)]!} \frac{d^a}{dw^a} \frac{d^b}{dw^{*b}} \frac{d^{l-(a+b+1)}}{dz^{l-(a+b+1)}} h_0^{(1)}(kr), \quad (33)$$

که $M^{(l)}(\hat{\mathbf{v}}, a, b)$ عناصر $M^{(l)}$ در سیستم مختصات دایره ای است. میدان مغناطیسی متناظر با 33، با معادله 29 بدست می آید. در خارج از پراکنده کننده، میدان الکتریکی به صورت زیر محاسبه می شود

$$\mathbf{E}(\mathbf{r}) = i\omega \left\{ \mathbf{A}(\mathbf{r}) + \frac{1}{k^2} \nabla [\nabla \cdot \mathbf{A}(\mathbf{r})] \right\}, \quad (34)$$

که 10 و 30 استفاده شده است. ضرایب چند قطبی $a_M(l, m)$ و $a_E(l, m)$ با استفاده از مولفه های $\hat{\mathbf{r}}$ از E و H در 3 و 5 بدست می آید. به ازای هر چند قطبی، مولفه های $\hat{\mathbf{r}}$ را می توان از حیث هارمومیک های گروه اسکالر نوشت. متعادل بودن هارمونیک گروه برای حل $a_M(l, m)$ و $a_E(l, m)$ استفاده می شوند بدون این که نیازی به محاسبه انتگرال ها در 3 و 5 باشد. مولفه های تانسورهای چند قطبی جریان در سیستم مختصات دایره ای را می توان به عناصر تانسور در سیستم مختصات دکارتی ارتباط داد. در مختصات

پیچیده، برهم نخی تانسور $M^{(l)}$ بر روی بردار واحد $M^{(l)}$ است. پس از محاسبات طولانی، روابط نقشه ای زیر بدست می آید

$$a_E(3, \pm 3) = \sqrt{15}C_3 \left[\pm (O_{xxx} - O_{xyy} - 2O_{yyx}) + i(O_{yyy} - O_{yxx} - 2O_{xxy}) \right], \quad (35)$$

$$a_E(3, \pm 2) = \sqrt{10}C_3 \left[-2O_{xxz} + 2O_{yyz} - O_{zxx} + O_{zyy} \pm i(2O_{xyz} + 2O_{yzx} + 2O_{zxy}) \right], \quad (36)$$

$$a_E(3, \pm 1) = C_3 \left[\mp (3O_{xxx} + O_{xyy} - 4O_{xzz} + 2O_{yyx} - 8O_{zzx}) + i(3O_{yyy} + O_{yxx} - 4O_{yzz} + 2O_{xxy} - 8O_{zzy}) \right], \quad (37)$$

$$a_E(3, 0) = 2\sqrt{3}C_3 [2O_{xxz} + 2O_{yyz} - 2O_{zzz} + O_{zxx} + O_{zyy}], \quad (38)$$

$$a_E(2, \pm 2) = 3C_2 [Q_{xx} - Q_{yy} \mp i(Q_{xy} + Q_{yx})], \quad (39)$$

$$a_E(2, \pm 1) = 3C_2 [\mp (Q_{xz} + Q_{zx}) + i(Q_{yz} + Q_{zy})], \quad (40)$$

$$a_E(2, 0) = \sqrt{6}C_2 [2Q_{zz} - Q_{xx} - Q_{yy}], \quad (41)$$

$$a_E(1, \pm 1) = C_1 [\mp p_x + ip_y] + 7C_3 \left[\pm (O_{xxx} + 2O_{xyy} + 2O_{xzz} - O_{yyx} - O_{zzx}) - i(O_{yyy} + 2O_{yxx} + 2O_{yzz} - O_{xxy} - O_{zzy}) \right], \quad (42)$$

$$a_E(1, 0) = \sqrt{2}C_1 p_z + 7\sqrt{2}C_3 [O_{xxz} + O_{yyz} - O_{zzz} - 2O_{zxx} - 2O_{zyy}], \quad (43)$$

$$a_M(2, \pm 2) = 7C_3 \left[\pm (-O_{xxz} + O_{yyz} + O_{zxx} - O_{zyy}) + i(O_{xyz} + O_{yzx} - 2O_{zxy}) \right], \quad (44)$$

$$a_M(2, \pm 1) = 7C_3 \left[-O_{xyy} + O_{xzz} + O_{yyx} - O_{zzx} \mp i(-O_{yxx} + O_{yzz} + O_{xxy} - O_{zzy}) \right], \quad (45)$$

$$a_M(2, 0) = 7\sqrt{6}iC_3 [O_{xyz} - O_{yzx}], \quad (46)$$

$$a_M(1, \pm 1) = 5C_2 [-Q_{xz} + Q_{zx} \mp i(-Q_{yz} + Q_{zy})], \quad (47)$$

$$a_M(1, 0) = 5\sqrt{2}iC_2 [-Q_{xy} + Q_{yx}], \quad (48)$$

$$C_1 = -ik^3/(6\pi\epsilon E_0), C_2 = -k^4/(60\pi\epsilon E_0)$$

که

و

$$C_3 = -ik^5/(210\pi\epsilon E_0) \text{ است.}$$

ما صحت 35-48 را به طور عددی تعیین کردیم. از نرم افزار COMSOL Multiphysics برای محاسبه عددی میدان الکترومغناطیسی ایجاد شده با منابع نقطه ای الکترومغناطیسی در دو قطبی طول موج زیرین پیکر بندی های چهار و هشت قطبی با هر تانسور در 35 تا 48 استفاده شد.

با استفاده از میدان هال الکتریکی بدست آمده در 3 و 4، ضرایب چند قطبی برای هر عنصر تانسور در P-Q-0 ارزیابی شد. ضرایب بدست آمده با 35 و 48 هم خوانی دارند.

تئوری پیشنهادی به شرح زیر است. برای یک نانو اسکاتر دلخواه، از جمله در یک ردیف، امکان ارزیابی عددی

میدان های درون اسکاتر و استفاده از 6، 15 و 16 برای بدست آوردن ضرایب چند قطبی $a_E(l, m)$

وجود دارد. هر مولفه تانسور با حالت جریان الکتریکی متناظر است. برای مثال O_{xyz} پیکر بندی جریان را با

هر دو $\zeta(\hat{y})$ و $\zeta(\hat{z})$ بر روی درایه محرو ایکس توصیف می کند.

اکنون ویژگی های مهم تانسور های جریان چند قطبی را در نظر می گیریم که با یک چهار قطبی شروع می

شود. تنها 8 ضریب

در انبساط $[a_E(2, \pm 2), a_E(2, \pm 1), a_E(2, 0), a_M(1, \pm 1) \text{ and } a_M(1, 0)]$

چند قطبی استفاده می شود در حالی که 9 درایه در چند قطبی دکارتی Q وجود دارد. از این روی بر

انگیزگی متقارن کروی با $Q_{xx} = Q_{yy} = Q_{zz}$ تولید میدان الکترومغناطیسی نمی کند. بر اساس

دانش مربوط به میدان الکترومغناطیسی، گشتاور های Q_{xx}, Q_{yy} و Q_{zz} را نمی توان به طور منحصر به

فرد تعیین کرد. با این حال جریان های واقعی منطبق بر شکل هندسی لنز هتند که امکان انتخاب Q_{xx}, Q_{yy}

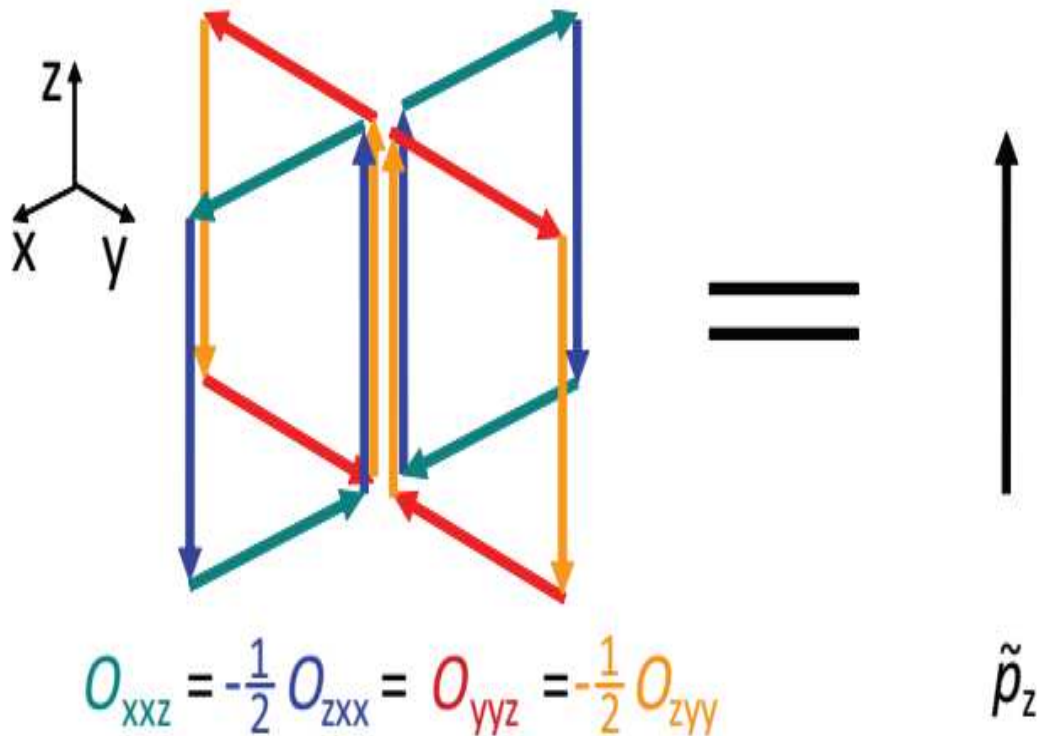
و Q_{zz} را می هد. این منجر به تعیین ویژگی بر انگیزگی می شود. برای هشت قطبی، 15 ضریب انبساطی

چند قطبی وجود دارد ولی 18 مولفه متفاوت در تانسور جریان دکارتی وجود دارد. مشابه با چهار قطبی های

متقارن کروی، برنگیزگی ها ی هشت وجهی متقارن

تاریک $O_{xxz} = O_{yyz} = 2O_{zzz}$ و $2O_{xxx} = O_{yyx} = O_{zzx}$, $O_{xxy} = 2O_{yyy} = O_{zzy}$,

هستند. یکی از هشت قطبی ها در هر برانگیختگی را می توان به طور مناسب تعیین کرد



شکل 2: میدان الکترومغناطیسی ایجاد شده با هشت قطبی نقطه ای در سمت چپ غیر قابل تمایز از میدان

ایجاد شده با یک دو قطبی نقطه ای در زمان $\tilde{p}_z = 2O_{xxz}k^2$ است.

از 35 تا 48، می توان مشاهده کرد که هر دو هشت وجهی جریان و دو قطبی در ایجاد ضرایب دو قطبی

قطبی با گشتاور دو قطبی صفر می تواند ایجاد یک میدان الکترومغناطیسی از دو قطبی الکتریکی کند. بر ای

مثال، هشت وجهی $\mathbf{O} = O(\hat{x}\hat{x}\hat{z} + \hat{y}\hat{y}\hat{z} - 2\hat{z}\hat{x}\hat{x} - 2\hat{z}\hat{y}\hat{y})$, $\mathbf{Q} = 0$ را با

نشان دهید. بر طبق 35 تا 48، این توزیع ایجاد یک میدان مغناطیسی مشابه با دو قطبی با گشتاور

می کند. این هشت قطبی در شکل 2 نشان داده شده است. تعادل بین الگوهای تابش هشت

وجهی و دوق قطبی را می توان با نوشتن پتانسیل برداری در 32 بر ای هشت قطبی نوشت

$$A(r) = \frac{1}{\omega} \frac{k^3}{4\pi\epsilon} 2O \left(\nabla \frac{d}{dz} + \hat{z}k^2 \right) h_0^{(1)}(kr), \quad (49)$$

که $\nabla^2 h_0^{(1)}(kr) = -k^2 h_0^{(1)}(kr)$ است. دومین جمله، پتانسیل بردار دو قطبی با گشتاور

$\vec{p} = 2Ok^2 \hat{z}$ است. اولین جمله، گرادیان تابع اسکالر است که منجر به میدان تابشی نمی شود. این یافته

بر اهمیت روابط در 35-48 با استفاده از ضرایب چند قطبی برای توصیف برانگیختگی های الکترومغناطیسی

تاکید دارد. برانگیختگی های جریان متعامد ایجاد میدان های الکترومغناطیسی کرده و آزادی اضافی را برای

شکل هندسی ذره در زمان طراحی نانومواد نوری ارائه می کند.

4- نتیجه گیری

به طور خلاصه، ما یک رویکرد نظری را برای محاسبه برانگیختگی های چند قطبی الکترومغناطیسی در یک

ماده متشکل از نانو ساختار های محلی در محیط دی الکتریک معرفی کردیم. انتشار نور از طریق ارائه نانو ساختار

ها را می توان به طور عددی با حل معادلات مکسول با شرایط مرزی مناسب محاسبه کرد. با استفاده از تئوری

ارائه شده، برانگیختگی های چند قطبی در ساختار ها را می توان آشکار کرد

به منظور دست یابی به تصاویر دقیق در مورد برانگیختگی های جریان الکتریکی واقعی در پراکنده کننده ها،

ما یک مبنایی را برای چند قطبی های جریان الکتریکی معرفی کردیم به طوری که هر برانگیختگی را می توان

با برهم نهی خطی نشان داد. ضرایب انبساط چندگانه را می توان به طور عددی محاسبه کرد و برای حالت ها

ی جریان الکتریکی واقعی در نانو ساختار ها استفاده می شوند. معادلات مشابه را می توان به طور معکوس

متناسب با توزیع زاویه ای و جهت مندی تابش پراکنده استفاده کرد. این تئوری یک چشم انداز دقیق را برای

طراحی و شناسایی نانو اسکاتر ها و مواد نوری تشکیل دهنده آن ها مورد استفاده قرار داد.



این مقاله، از سری مقالات ترجمه شده رایگان سایت ترجمه فا میباشد که با فرمت PDF در اختیار شما عزیزان قرار گرفته است. در صورت تمایل میتوانید با کلیک بر روی دکمه های زیر از سایر مقالات نیز استفاده نمایید:

لیست مقالات ترجمه شده ✓

لیست مقالات ترجمه شده رایگان ✓

لیست جدیدترین مقالات انگلیسی ISI ✓

سایت ترجمه فا ؛ مرجع جدیدترین مقالات ترجمه شده از نشریات معتبر خارجی